

КОРЕЛЯЦІЯ ВИТРАТ У БАГАТОРУБІЖНИХ СИСТЕМАХ ЗАХИСТУ ІНФОРМАЦІЇ

Є.Г. ЛЕВЧЕНКО, Д.І. РАБЧУН

Оптимізаційні економічні задачі інформаційної безпеки направлено на вирішення двох основних проблем: визначення оптимального розміру інвестицій в захист інформації і оптимізація розподілу ресурсів між об'єктами, котра забезпечує досягнення найкращих економічних показників. Перехід до багаторівневих багаторубіжних систем суттєво розширює проблему і викликає низку питань, обумовлених ускладненням структури і особливостями розташування окремих елементів. Розглянуто послідовно-паралельну схему розташування перешкод, котра містить спільну для всіх об'єктів перешкоду та індивідуальні перешкоди. Проаналізовано доцільність введення спільної перешкоди за незмінного бюджету захисту інформації в залежності від вразливості перешкод і розподілу інформації між об'єктами. Розроблено методіку і наведено результати розрахунків оптимального розподілу ресурсів між спільною і індивідуальними перешкодами. Розглянуто умови кореляції між оптимальними розподілами ресурсів, направлених на індивідуальні перешкоди. Наведені результати можуть бути корисними при розробці рекомендацій з управління ресурсами і створенню оптимальних систем захисту інформації.

ВСТУП

Зростання обсягів і вартості інформації призводить до відповідного ускладнення систем захисту — вони стають багаторівневими і багаторубіжними. Подорожчання цих систем робить більш актуальною проблему оптимального використання ресурсів захисту. Оптимізаційні економічні задачі направлено на забезпечення найкращих показників інформаційної безпеки і мають два основних напрямки:

- визначення оптимального розміру інвестицій у захист інформації;
- оптимізація розподілу ресурсів між об'єктами.

У процесі пошуку рішення слід враховувати зміну умов протистояння з часом, пов'язану зі «старінням» інформації та її оновленням, появою нових засобів нападу, модернізацію систем захисту тощо. В результаті приходимо до задачі динамічного управління ресурсами в складних структурах захисту. На рис. 1 показано приклад такої структури.

Схема (рис. 1) може представляти як фізичні, так і електронні системи. Прикладом фізичної системи може бути система, в якій спільна перешкода f_0 являє собою захищений периметр території, об'єкти g_1, g_2 — приміщення, а перешкоди f_{ks} — засоби, що захищають ці приміщення (у подвійних індексах перший з них — номер об'єкта, другий — номер перешкоди). Паралельні засоби f_{11}, f_{12}, f_{13} захисту першого об'єкта — це, приміром, заземлення електро- і тепломереж, екранування, зашумлення приміщень. Послідовні засоби f_{21}, f_{22} захисту другого об'єкта розташовані в суміжних

приміщеннях. В електронній системі (рис. 1) об'єкти g_1 , g_2 — це комп'ютери, сервери, захищені спільною (firewall) та індивідуальними (антивірусне програмне забезпечення, шифрування даних, антиспамфільтри) перешкодами. Складну схему (рис. 1) можна звести до більш простих схем (рис. 2) з паралельним (рис. 2,а) або послідовно-паралельним (рис. 2,б) розташуванням елементів захисту.

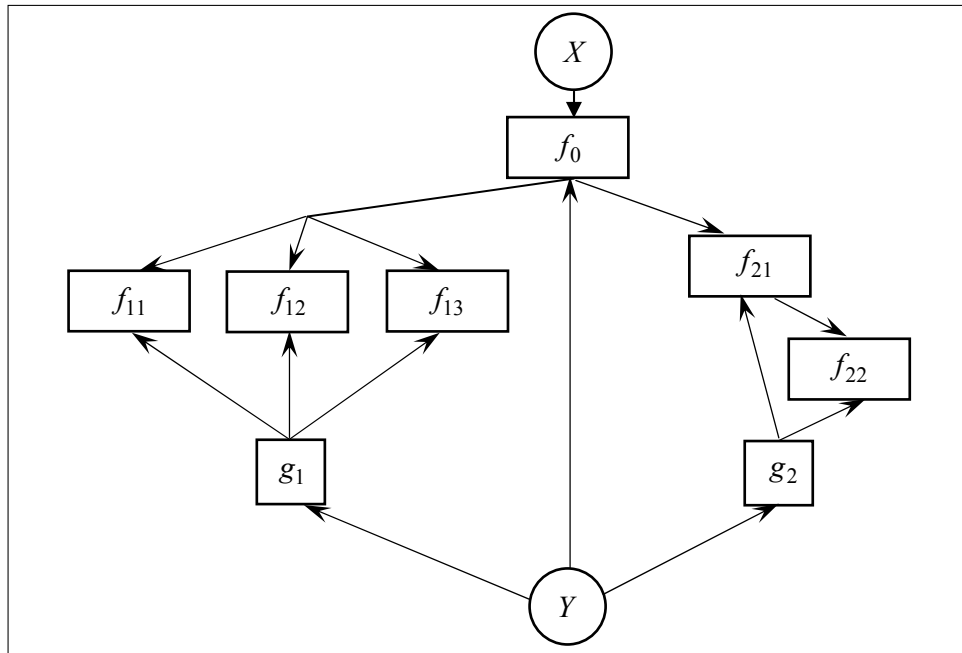


Рис. 1. Структура системи захисту інформації

Розгляду зазначених задач присвячено низку робіт, в якій аналізується як перша із сформульованих проблем [1–3], так і друга [4–6], причому в перших роботах структура інформаційної системи не конкретизувалась, а в інших розглядалися лише найпростіші однорівневі системи. В [7] розглянуто деякі загальні аспекти аналізу багаторубіжних структур та наведено вирази для розрахунку їх показників. Слід зазначити, що перехід до багаторубіжних систем суттєво розширює проблему і викликає низку питань, обумовлених ускладненням структури і особливостями розташування окремих елементів.

Мета роботи — дослідження кореляції між оптимальними значеннями кількості ресурсів у багаторівневих багаторубіжних системах і розробка рекомендацій з управління розподілом ресурсів при зміні кількості об'єктів і введенні нових перешкод.

ПОСТАНОВКА ЗАДАЧІ

Маючи на меті виявлення основних закономірностей розподілу ресурсів захисту інформації в багаторубіжних системах, обмежимося розглядом спрощених структур (рис. 2). Аналізуючи послідовно-паралельну схему розташування перешкод (рис. 2,б), розглянемо такі задачі:

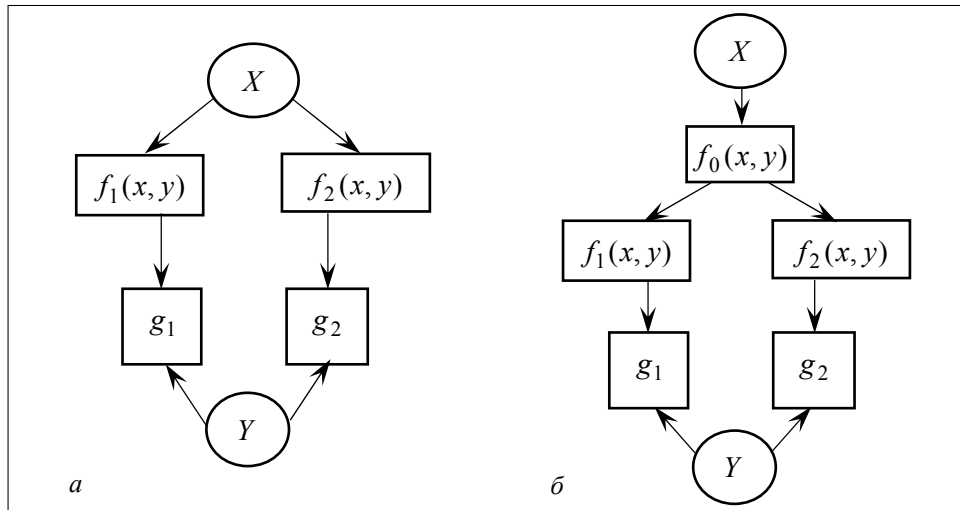


Рис. 2. Спрощені схеми систем захисту інформації, де: *a* — однорівнева система; *б* — дворівнева

- порівняння схеми (рис. 2,б) зі схемою (рис. 2,а) і визначення доцільності введення додаткової перешкоди при незмінному бюджеті захисту інформації;
- визначення оптимального розподілу ресурсів між спільною та індивідуальними перешкодами;
- встановлення кореляції між оптимальними розподілами ресурсів, направлених на індивідуальні перешкоди, для заданих схем;
- розробка рекомендацій по управлінню ресурсами в багаторубіжних системах.

Методика розрахунків. Використовуючи математичну модель [8], сформуємо цільову функцію, яка визначає відносну вартість втраченої інформації, у вигляді:

$$i(x, y) = \sum_{k=1}^l i_k(x, y) = \sum_{k=1}^l g_k p_k q_k(x, y) f^{(k)}(x, y),$$

де

x та y — ресурси нападу і, відповідно, захисту;

$k = \overline{1, l}$ — номер об'єкта;

g_k — відносна вартість інформації на об'єкті, $\sum_{k=1}^l g_k = 1$;

p_k — імовірність нападу на об'єкт;

$q_k(x, y)$ — щільність двовірного розподілу імовірності виділення ресурсів x, y ;

$f^{(k)}(x, y)$ — частка втраченої інформації на об'єкті, котра визначає вразливість об'єкта.

Величини $i(x, y)$, $i_k(x, y)$ та g_k віднесені до загальної вартості інформації, $f^{(k)}(x, y)$ — до вартості інформації на об'єкті.

Зосередимось на впливі вразливостей об'єктів. З цією метою покладемо $p_k = 1$ і задамо $q(x, y) = \text{const} = 1$ в інтервалі значень x, y , котрий вважаємо реальним.

З урахуванням наведених припущень цільова функція для структури (рис. 1, б) має вигляд:

$$i(x, y) = g_1 f^{(1)}(x, y) + g_2 f^{(2)}(x, y) = f_0(x, y) [g_1 f_1(x, y) + g_2 f_2(x, y)]. \quad (1)$$

Верхній індекс у виразах $f(x, y)$ — номер об'єкта, нижній — номер перешкоди. Вразливості об'єктів визначаються вразливостями перешкод:

$$f^{(1)}(x, y) = f_0(x, y) f_1(x, y), \quad f^{(2)}(x, y) = f_0(x, y) f_2(x, y).$$

Функції $f_k(x, y)$ виражають динамічну вразливість перешкод. Наслідуючи [8], прийнемо, що змінні x, y входять у функції $q_k(x, y), f^{(k)}(x, y)$ у вигляді відношення $\frac{x}{y}$. Величини $f_k(x, y)$ визначаються властивостями перешкод і мають задовольняти умовам: при $\frac{x}{y} \rightarrow 0$ $f_k(x, y) \rightarrow 0$, при $\frac{x}{y} \rightarrow \infty$ $f_k(x, y) \rightarrow 1$. Найпростішою формою функцій, які задовольняють зазначеним умовам, є дробово-степенева:

$$f_k(x, y) = \frac{\left(\frac{x}{y}\right)^{n_k}}{\left(\frac{x}{y}\right)^{n_k} + c_k} = \frac{1}{1 + c_k \left(\frac{y}{x}\right)^{n_k}} \quad (2)$$

При $n_k = 1$ (2) виражає дробово-лінійну залежність, при $n_k > 1$ — дробово-нелінійну. Параметри n_k та c_k мають смисл продуктивностей витрат на захист інформації [9]. При графічному зображенні вони впливають на форму залежностей $f_k(x, y)$.

У подальшому для спрощення запису введемо позначення: $\frac{x}{y} = \tilde{x}$,

$\frac{y}{x} = \tilde{y}$. Тоді цільова функція (1) для служби захисту матиме вигляд:

$$i(\tilde{y}) = \frac{1}{1 + c_0 \tilde{y}_0^{n_0}} \left(\frac{g_1}{1 + c_1 \tilde{y}_1^{n_1}} + \frac{g_2}{1 + c_2 \tilde{y}_2^{n_2}} \right). \quad (3)$$

РЕЗУЛЬТАТИ ДОСЛІДЖЕНЬ

Метою наших розрахунків є знаходження оптимального розподілу $\{y_k^0\}$, який мінімізує $i(\tilde{y})$. Структуру (рис. 2, а) вважаємо базовою, з якою порівнюємо структуру (рис. 2, б) при різних варіантах параметрів $G = \frac{g_1}{g_2}, n_k, c_k$.

У ході вирішення першої з поставлених задач необхідно визначити умови, за яких введення додаткової перешкоди при незмінному бюджеті захисту інформації є доцільним. Критерієм доцільності є зменшення можливого обсягу втраченої інформації при забезпеченні оптимального розподілу ресурсів захисту між об'єктами.

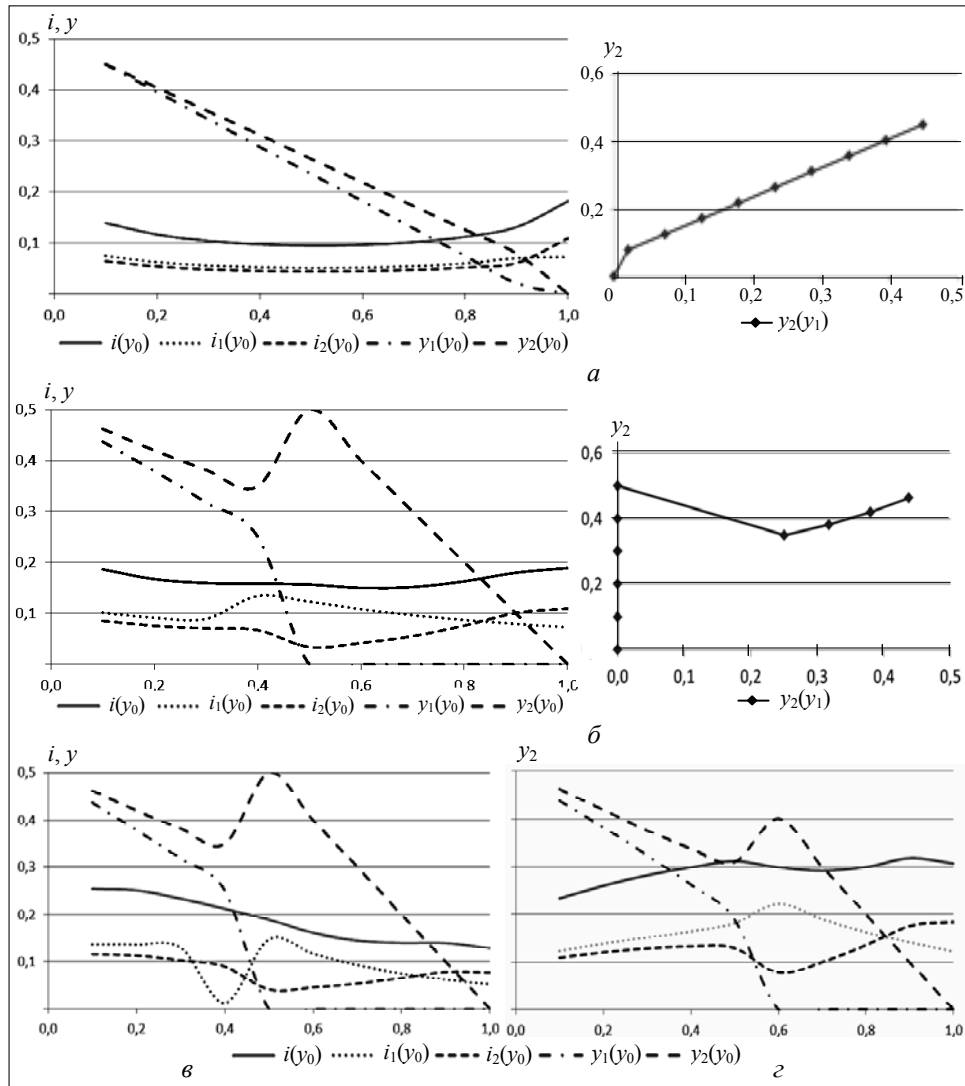


Рис. 3. Залежності $y_k^0(y_0)$, $i_k(y_0)$, та $i(y_0)$ для системи (рис. 2, б, г) при $Y=1$, $X=2$, $g_1=0,4$, $g_2=0,6$ та різних значеннях параметрів n_k, c_k : а — $n_0=n_1=n_2=1$; б — $n_0=1, n_1=n_2=2$; в — $n_0=n_1=n_2=2$, (для а, б, в — $c_0=3, c_1=4, c_2=8$); г — $n_0=n_1=n_2=2, (c_0=1, c_1=5, c_2=9)$

На рис. 3 показано оптимальний розподіл ресурсів захисту $y_1^0(y_0)$, $y_2^0(y_0)$ між індивідуальними перешкодами і відповідну частку втраченої інформації $i_1(y_0)$, $i_2(y_0)$ на кожному з об'єктів, а також сумарні втрати $i(y_0) = i^{(1)}(y_0) + i^{(2)}(y_0)$ — залежно від кількості ресурсів y_0 на спільній

перешкоді. Нижній нулик у позначенні змінних відноситься до спільної перешкоди, верхній — до оптимальних значень. Розподіл ресурсів нападу між перешкодами вважаємо рівномірним: $x_k = \frac{X}{l}$. Рис. 3,а,б відображають ситуацію, коли вразливість спільної перешкоди описується дробово-лінійною залежністю ($n_0 = 1$), рис. 3,в,г — коли дробово-квадратичною ($n_0 = 2$). Для індивідуальних перешкод розглянуто різні варіанти функцій — як дробово-лінійних (рис. 3,а), так і дробово-квадратичних (рис. 3,б–г). На правих частинах рис. 3,а,б показано лінії регресії $y_2^0(y_1^0)$.

Аналізуючи результати розрахунків, звернемо увагу на форми залежностей $i(y_0)$ та $y_2(y_1)$. Перша з них визначає доцільність введення спільної перешкоди і дозволяє встановити оптимальну кількість y_0^0 ресурсів, які слід виділяти на цю перешкоду. Можливі такі варіанти:

- $0 < y_0^0 < 1$ (рис. 3,а,б) — існує оптимальне значення y_0^0 ;
- $y_0^0 = 1$ (рис. 3,в) — на спільну перешкоду слід направити всі ресурси;
- $y_0^0 = 0$ (рис. 3,г) — вводити спільну перешкоду недоцільно.

Шуканий розподіл $\{y_k^0\}$ знаходимо як оптимум функції трьох змінних $i(y_0, y_1, y_2)$. Точка оптимуму (y_0^0, y_1^0, y_2^0) визначається методом перебору всіх можливих комбінацій (y_0, y_1, y_2) , обмежених умовою $\sum_{k=1}^3 y_k = Y$. Ця процедура здійснюється за допомогою програмного комплексу Matlab.

На рис. 3,а–г фіксується величина y_0 в інтервалі від 0 до 1 й для кожного з цих значень наведено оптимальні величини y_1^0, y_2^0 . Шуканий розподіл $\{y_0^0, y_1^0, y_2^0\}$ визначається точкою y_0^0 , яка відповідає найменшому значенню $i(y_0)$ (ця точка позначається вертикальною штриховою лінією).

Точка (y_0^0, y_1^0, y_2^0) характеризує ситуацію, коли збільшення будь-якої з цих величин (за рахунок інших) призводить лише до погіршення ситуації, тобто збільшення величини $i(y)$. Значення кожної з величин y_0^0, y_1^0, y_2^0 залежить від вразливості перешкод і продуктивності відповідних витрат. На продуктивність витрат впливають величини похідних $\frac{di}{dy_k}(y_k)$. Співвідношення похідних з врахуванням вагових коефіцієнтів g_k при всіх можливих значеннях y_k визначає напрямок найбільш ефективного внесення ресурсів. Вразливості перешкод, тобто значення функцій $f(y)$ (2) (де покладено $x = 1$), та величини похідних $\frac{df}{dy}$, тобто продуктивності витрат за однаковими значеннями g_k , зображено на рис. 4 та 5.

Положення точки y_0^0 на шкалі y_0 визначається параметрами n_k, c_k . Слід врахувати, що, відповідно до (2), у ході зростання c_k вразливість $f(x, y)$ зменшується (рис. 4), а у ході зростання n_k — збільшується (оскільки вартість ресурсів захисту має бути меншою, ніж вартість інформації — $y_k < 1$). Тому значення $y_0^0 = 0$ досягається в системі, де c_0 приймає мінімальне значення $c_0 = 1$, а $n_0 = 2$ (рис. 3,з). При цих значеннях n_0, c_0 вразливість $f(y)$ спільної перешкоди висока, а продуктивність $|f'(y)|$ інвестицій низька (рис. 4,б, 5,б криві 4), і їх доцільно розподілити між індивідуальними перешкодами. При зростанні c_0 вразливість зменшується, а продуктивність зростає в основному інтервалі зміни y (рис. 4,а, 5,а криві 4). Точка y_0^0 зміщується вправо і зрештою досягає значення $y_0 = 1$ (рис. 3,в).

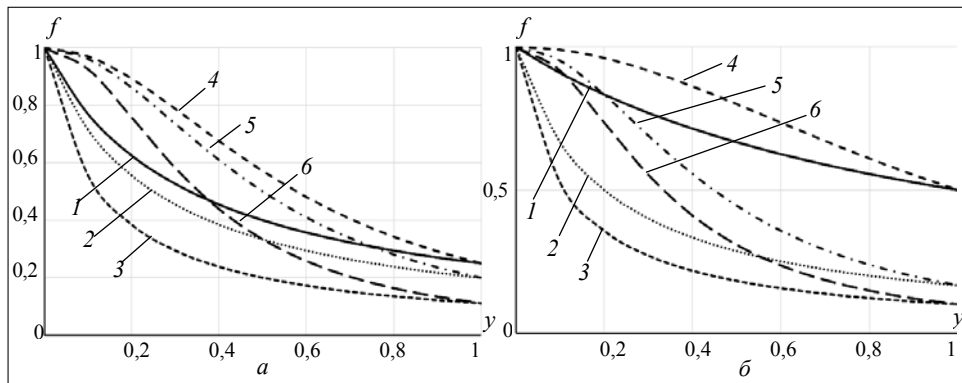


Рис. 4. Вразливості перешкод при різних значеннях n та c :
 криві 1–3 — $n=1$, криві 4–6 — $n=2$;
 а — криві 1, 4 — $c=3$; 2, 5 — $c=4$; 3, 6 — $c=8$;
 б — криві 1, 4 — $c=1$; 2, 5 — $c=5$; 3, 6 — $c=9$

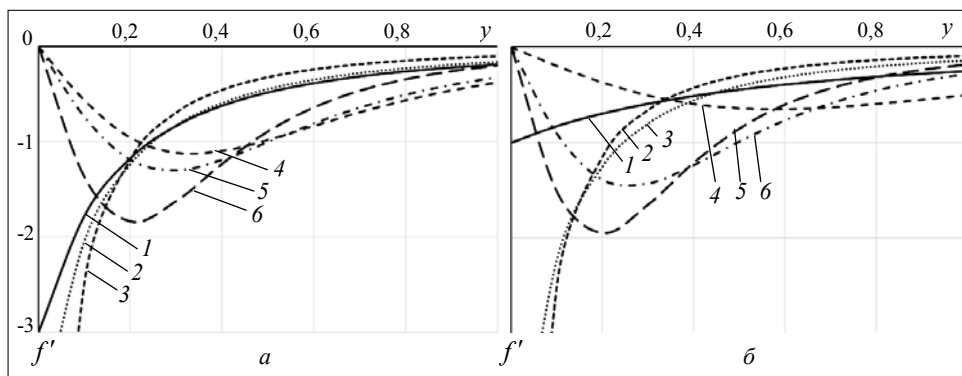


Рис. 5. Продуктивності витрат на захист інформації при різних значеннях n та c :
 криві 1–3 — $n=1$; 4–6 — $n=2$;
 а — криві 1, 4 — $c=3$; 2, 5 — $c=4$; 3, 6 — $c=8$;
 б — криві 1, 4 — $c=1$; 2, 5 — $c=5$; 3, 6 — $c=9$

При зміні обох типів показників — n_k й c_k — необхідно врахувати вплив кожного з них. Порівнюючи показники різних перешкод, слід

пам'ятати, що показники спільної перешкоди грають більшу роль, оскільки вона захищає обидва об'єкти. При певних співвідношеннях значень n_k , c_k введення спільної перешкоди є доцільним і значення y_0 знаходиться в інтервалі $0 < y_0 < 1$ (рис. 3,а,б).

В реальних системах розподіл інформації на об'єктах може бути нерівномірним ($g_1 \neq g_2$), що також буде впливати на оптимальний розподіл ресурсів.

Залежності $y_1(y_0)$ й $y_2(y_0)$ і, відповідно, лінії регресії $y_2(y_1)$ можуть приймати дві принципово відмінні форми. Перша з них відтворює узгоджену зміну величин y_1 й y_2 та близьку до лінійної залежність $y_2(y_1)$ (рис. 3,а). Така ситуація спостерігається, коли вразливості перешкод описуються дробово-лінійними функціями (рис. 3,а). Цей висновок справедливий також для однорівневих систем з більшою кількістю об'єктів. Привабливість цієї форми обумовлена тим, що за умови введення додаткової перешкоди співвідношення між необхідними ресурсами y_1 , y_2 не змінюється суттєво і не потребує значної перебудови системи захисту інформації. Друга форма характеризує ситуацію, коли при досягненні певного значення y_0 узгоджена зміна величин y_1 , y_2 переходить в кардинальний перерозподіл ресурсів — всі ресурси зосереджуються на одному з об'єктів. Цю ситуацію ілюструють рис. 3,б–г, де, починаючи зі значення $y_0 = 0,5$, величина y_1 зменшується до нуля, а y_2 зростає до максимально можливого значення $y_2 = 0,5$. На рис. 3,г y_2 зростає до значення $y_2 = 0,4$, оскільки перерозподіл відбувається при $y_0 = 0,6$. Причину таких «стрибків» проаналізовано в [10].

Весь інтервал зміни y_0 можна поділити на 3 зони (рис. 3,б):

- зона 1 — при зростанні y_0 величини y_1 , y_2 монотонно і узгоджено зменшуються. При цьому зростають вразливості індивідуальних перешкод, проте одночасно зростає захисна дія спільної перешкоди — відбувається часткова компенсація, в результаті $i_1(y_0)$, $i_2(y_0)$ та $i(y_0)$ змінюються слабо.

- зона 2 — y_1 зменшується до нуля, y_2 зростає до максимально можливого (при даному y_0) значення, відповідно, $i_1(y_0)$, зростає, а $i_2(y_0)$ зменшується.

- зона 3 — $y_1 = 0$, y_2 поступово зменшується (через зростання y_0), $i_1(y_0)$ спадає (з тієї ж причини), $i_2(y_0)$ зростає через спадання y_2 .

Оптимізацію розподілу ресурсів направлено на досягнення мінімального значення $i(x, y)$. Розглянемо, при яких комбінаціях $\{n_k\}$, $\{c_k\}$ величина $i_{\min}(y_0)$ досягає найменшого значення. Будемо звертати увагу також на інтервал Δi зміни величини $i(x, y)$ при зростанні y_0 від 0 до 1. Як видно з рис. 3, найкращі результати за цими показниками досягаються при $n_0 = n_1 = n_2 = 1$: на рис. 3,а $i_{\min}(y_0) = 0,09$, причому в значній частині інтер-

валу зміни y_0 значення $i(y_0)$ не перевищують 0,1. Це й зрозуміло: найменші значення n_k виражають найменшу вразливість перешкод. При переході до значень $n_1 = n_2 = 2$ (рис. 3,б) $i_{\min}(y_0)$ зростає до 0,15, залишаючись у всьому інтервалі зміни y_0 близьким до цього значення (на границях інтервалу $i(y_0) = 0,19$). При повністю нелінійних функціях вразливості $n_0 = n_1 = n_2 = 2$ значення $i(y_0)$ зростають, а сама залежність при заданих на рис. 3,в,г значеннях c_k стає відчутно нерівномірною. Наведені дані свідчать про те, що фізичні системи простіше піддаються захисту, ніж електронні. Порівняння залежностей $i(y_0)$ показує також, що при певних наборах параметрів n_k й c_k можна досягти значної компенсації зміни вразливостей спільної та індивідуальних перешкод і досягти досить рівномірного характеру залежності $i(y_0)$ (рис. 3,б).

Для порівняння систем введемо величину $K = i_{\min}(y_0) \times \Delta i$, яка враховує обидва зазначені показники. Для системи (рис. 3,в) маємо $K = 0,13 \times 0,12 = 0,016$, для системи (рис. 3,г) $K = 0,23 \times 0,09 = 0,018$. Найкращий результат у системі з $n_0 = n_1 = n_2 = 2$ досягається при $c_0 = 2$, $c_0 = 4$, $c_0 = 9$ і становить $K = 0,18 \times 0,08 = 0,014$.

Зауважимо, що кореляція величин y_1 та y_2 визначається, в основному, значенням n_0 : при $n_0 = 1$ ці величини корелюють у всьому інтервалі зміни y_0 , а при $n_0 = 2$ коефіцієнт кореляції при певному значенні y_0 різко змінює знак з позитивного на негативний.

На завершення зазначимо, що обґрунтуванням застосування наведеної методики можна вважати те, що вона дає якісно схожі, а при певному виборі параметрів — співпадаючі результати [11] з широко відомою методикою Гордона-Лоеба [1], яка знайшла своє емпіричне підтвердження [12–13].

ВИСНОВКИ

Введення спільної перешкоди на додаток до індивідуальних змінює співвідношення між надійністю об'єктів і потребує коригування розподілу ресурсів в рамках незмінного бюджету. Доцільність введення спільної перешкоди та оптимальний розподіл ресурсів між перешкодами залежить від їх динамічних вразливостей $f_k(y)$ і розподілу інформації між об'єктами. Ці фактори впливають на ступінь коригування розподілу ресурсів, яке може бути узгодженим для окремих об'єктів, але й також може переходити у кардинальний перерозподіл ресурсів. Визначення форми залежностей $f_k(y)$, точніше кажучи — параметрів n_k , c_k — при використанні наведеної методики дозволить надати рекомендації з оптимізації багаторубіжних систем захисту інформації, а в перспективі — до їх синтезу.

ЛІТЕРАТУРА

1. *Gordon L.A., Loeb M.P.* The Economics of Information Security Investment // ACM Transactions on Information and System Security. — 2002. — 5, № 4. — P. 438–457.
2. *Задірака В.К., Олексюк О.С., Смоленюк Р.П., Штабальюк П.І.* Фінансування витрат на захист інформації в економічній діяльності // Університетські наукові записки. — 2006. — № 3–4 (19–20). — С. 479–490.
3. *Рабчун А.О.* Оптимізація сумарних втрат в сфері захисту інформації // Безпека інформації. — 2012. — № 1. — С. 32–36.
4. *Левченко Є.Г.* Оптимізація розподілу ресурсів між об'єктами захисту інформації // НТЖ «Захист інформації». — 2007. — № 1. — С. 33–38.
5. *Прус Р.Б.* Оптимізація розподілу ресурсів захисту інформації в динамічному режимі // Безпека інформації. — 2012. — № 1. — С. 26–32.
6. *Демчишин М.В., Левченко Є.Г.* Оптимізація розподілу ресурсів при проведенні розвідки в інформаційному протистоянні // Системні дослідження та інформаційні технології. — 2012. — № 4. — С. 56–63.
7. *Левченко Є.Г., Прус Р.Б., Рабчун А.О.* Показники багатоступінчастих систем захисту інформації // Вісник Інженерної академії України. — 2009. — № 1. — С. 61–65.
8. *Левченко Є.Г., Рабчун А.О.* Оптимізаційні задачі менеджменту інформаційної безпеки // Сучасний захист інформації. — 2010. — № 1. — С. 16–23.
9. *Левченко Є.Г., Прус Р.Б., Рабчун Д.І.* Показники продуктивності витрат на захист інформації // Безпека інформації. — 2012. — № 2. — С. 6–11.
10. *Демчишин М.В., Левченко Є.Г.* Вплив вразливості об'єктів на розв'язок прямої та зворотної задач менеджменту інформаційної безпеки // Системні дослідження та інформаційні технології. — 2012. — № 3. — С. 43–57.
11. *Левченко Є.Г., Демчишин М.В., Рабчун А.О.* Математичні моделі економічного менеджменту інформаційної безпеки // Системні дослідження та інформаційні технології. — 2011. — № 4. — С. 88–96.
12. *Matsuura K.* Productivity Space of Information Security in an Extension of the Gordon-Loeb's Investment Model // The Seventh Workshop on the Economics of Information Security. June 25–28, Hanover, USA. — 2008.
13. *Lui W., Tanaka H., Matsuura K.* Empirical – Analysis Methodology for Information – Security Investment and its Application to a Reliable Survey of Japanese Firms // Information Proceeding of Japan Digital Courier. — 2007. — 3. — P. 585–599.

Надійшла 21.05.2013